

# 不確定性關係

## — Heisenberg, Ozawa, Branciard

北野 正雄

京都大学工学研究科

2015.1.12

第4回 QUATUO 研究会@高知工科大学



# 不確定性原理の歴史

- ▶ ガンマ線顕微鏡の思考実験 — Heisenberg (1927)
  - ▶ 量子の相補性 (粒子性と波動性) の試金石 — 量子論の中心概念の1つ
  - ▶ 演算子の交換関係 (非可換性) との関係
- ▶ 「測定の誤差」, 「測定による擾乱」の正確な定義 (間接測定モデル)  
小澤不等式 — ハイゼンベルク不等式の破綻を主張 —  
M. Ozawa: Phys. Lett. A **318**, 21 (2003)
- ▶ 「誤差」, 「擾乱」を適切に再定義すれば, 破綻していない  
— MK, arXiv:0803.4377 (2008)  
(再定義しない場合、連続系 (正準交換関係) では、  
Ozawa 限界より厳密な限界 — Branciard 限界の例)
- ▶ Branciard 不等式 — 一般的な枠組みで、Ozawa 限界より  
厳しい限界を導出  
— C. Branciard: PNAS **110**, 6742 (2013).



## 不確定性3種 — 位置： $\hat{q}$ , 運動量： $\hat{p}$

- ▶ 状態の不確定性 (URs) Robertson

$$\sigma(\hat{q})\sigma(\hat{p}) \geq \hbar/2$$

- ▶ 測定の不確定性 (URm) Heisenberg-Authurs-Kelly

$$\epsilon(\hat{q})\eta(\hat{p}) \geq \hbar/2$$

- ▶ 同時測定の不確定性 (URj)

$$\epsilon(\hat{q})\epsilon(\hat{p}) \geq \hbar/2$$

$\sigma(\hat{A})$  : 物理量  $\hat{A}$  の状態  $|\psi\rangle$  に対するバラツキ

$$\sigma(\hat{A}) = \langle \psi | \delta \hat{A}^2 | \psi \rangle^{1/2}, \quad \delta \hat{A} = \hat{A} - \langle \psi | \hat{A} | \psi \rangle \hat{1}$$

$\epsilon(\hat{A})$  :  $\hat{A}$  の測定の精度, 誤差

$\eta(\hat{A})$  :  $\hat{A}$  に対する測定の擾乱, 反作用



# 状態の不確定性 (URs)

- ▶ 状態の不確定性 (URs) は正準交換関係  $[\hat{q}, \hat{p}] = i\hbar\hat{1}$  から簡単に求めることができる.
- ▶ 正準交換関係の2重性

$$\hat{p} = \hbar\hat{k} \quad (\text{粒子性})$$

$$[\hat{q}, \hat{k}] = i\hat{1} \quad (\text{波動性})$$

( $\rightarrow \hat{k} = id/dq$ , フーリエ変換の関係)

- ▶ 他の不確定性 (UR<sub>m</sub>, UR<sub>j</sub>) の根拠を与えている
- ▶ 測定の不確定性 (UR<sub>m</sub>) の導出が明確に行われることは極めて稀である (URs の証明でお茶を濁している)



# URs の証明 — Schwarz 不等式

- ▶ 交換しない物理量  $\hat{A}, \hat{B}$  —  $[\hat{A}, \hat{B}] = 2i\hat{C}$
- ▶ 与えられた状態  $|\psi\rangle$  に対する期待値  $\langle \hat{A} \rangle := \langle \psi | \hat{A} | \psi \rangle$
- ▶ 平均からのズレの演算子  $\delta\hat{A} = \hat{A} - \langle \hat{A} \rangle \hat{1}$   
—  $[\delta\hat{A}, \delta\hat{B}] = 2i\hat{C}$
- ▶ 実数  $\lambda$  に対して  $\hat{D}_\lambda := \delta\hat{A} + i\lambda\delta\hat{B}$

$$\begin{aligned} 0 \leq \|\hat{D}_\lambda|\psi\rangle\|^2 &= \langle \hat{D}_\lambda^\dagger \hat{D}_\lambda \rangle = \langle (\delta\hat{A} - i\lambda\delta\hat{B})(\delta\hat{A} + i\lambda\delta\hat{B}) \rangle \\ &= \langle \delta\hat{A}^2 \rangle + 2\lambda\langle \hat{C} \rangle + \lambda^2\langle \delta\hat{B}^2 \rangle \end{aligned}$$

- ▶ 不等式が  $\lambda$  によらず成立するためには、判別式  $\leq 0$

$$\langle \delta\hat{A}^2 \rangle \langle \delta\hat{B}^2 \rangle \geq \langle \hat{C} \rangle^2$$

- ▶ 正準交換関係  $[\hat{q}, \hat{p}] = i\hbar$  (連続系) に対しては

$$\sigma(\hat{q})\sigma(\hat{p}) = \sqrt{\langle \delta\hat{q}^2 \rangle \langle \delta\hat{p}^2 \rangle} \geq \frac{\hbar}{2}$$



# 正準交換関係は離散系では実現不可

- ▶ エルミート演算子  $\hat{A}$ ,  $\hat{B}$  が正準交換関係  $[\hat{A}, \hat{B}] = i\hat{1}$  を満たすとする.
- ▶  $\hat{A}$  が対角的な基底をとると,

$$\hat{A} = \sum_i a_i |i\rangle\langle i|, \quad \hat{B} = \sum_j \sum_k b_{jk} |j\rangle\langle k|$$

- ▶ 交換関係は

$$(a_j - a_k)b_{jk} = i\delta_{jk}$$

- ▶  $j = k$  に対して,  $0 = i$  となるので矛盾.



## 連続系では OK

- ▶ エルミート演算子  $\hat{A}$ ,  $\hat{B}$  が正準交換関係  $[\hat{A}, \hat{B}] = i\hat{1}$  を満たすとする.
- ▶  $\hat{A}$  が対角的な基底をとると,

$$\hat{A} = \int da a|a\rangle\langle a|, \quad \hat{B} = \int da' \int da'' b(a', a'')|a'\rangle\langle a''|$$

- ▶ 交換関係は

$$(a' - a'')b(a', a'') = i\delta(a' - a'')$$

- ▶  $b(a', a'') = -i\delta'(a' - a'')$  は上の関係を満たす.
- ▶  $a$  表示では

$$\langle a|\hat{A}|\psi\rangle = a\psi(a) \quad \langle a|\hat{B}|\psi\rangle = \frac{1}{i} \frac{d}{da} \psi(a)$$

$$\text{つまり, } \left[ a, \frac{1}{i} \frac{d}{da} \right] = i$$



# 離散系の面倒さ

- ▶ 離散系に対する URs は,  $[\hat{A}, \hat{B}] = 2i\hat{C}$  に対して

$$\langle \delta \hat{A}^2 \rangle \langle \delta \hat{B}^2 \rangle \geq \langle \hat{C} \rangle^2$$

右辺が状態依存であることに注意.

- ▶ 状態無依存の下限を求める努力がされているが, 単純な結果は得られていない. (entropic uncertainty relations)  
S. Wehner and A. Winter: New J. Phys. 12 (2010) 025009
- ▶ 離散系に対する URm はうまく表現できない. — 無理に定義できないことはないが, 物理的意味が不明.  
Erhart, Sponar, Sulyok, Badurek, Ozawa, and Hasegawa:  
Nature Physics (2012) doi:10.1038/nphys2194





# Cauchy-Schwarz 不等式

- ▶ 複素ベクトル  $\mathbf{a}$ ,  $\mathbf{b}$  に対する Cauchy-Schwarz の不等式

$$\|\mathbf{a}\|^2\|\mathbf{b}\|^2 \geq |(\mathbf{a}, \mathbf{b})|^2$$

内積  $(\mathbf{a}, \mathbf{b}) = \sum_k a_k^* b_k \in \mathbb{C}$ .

- ▶ 状態を  $|\psi\rangle$ , 物理量 (エルミート演算子) を  $\hat{A}$ ,  $\hat{B}$ .  
ずれ演算子を定義:  $\delta\hat{A} := \hat{A} - \langle\psi|\hat{A}|\psi\rangle\hat{1}$ , ...

$$|a\rangle := \delta\hat{A}|\psi\rangle, \quad |b\rangle := \delta\hat{B}|\psi\rangle$$

- ▶  $|a\rangle$ ,  $|b\rangle$  に対する Cauchy-Schwarz 不等式:  
 $\langle a|a\rangle\langle b|b\rangle \geq |\langle a|b\rangle|^2$ , i.e.,

$$\langle\delta\hat{A}^2\rangle\langle\delta\hat{B}^2\rangle \geq |\langle\delta\hat{A}\delta\hat{B}\rangle|^2$$

- ▶ 右辺は

$$\begin{aligned} |\langle\delta\hat{A}\delta\hat{B}\rangle|^2 &= \left| \operatorname{Re}\langle\delta\hat{A}\delta\hat{B}\rangle + i \operatorname{Im}\langle\delta\hat{A}\delta\hat{B}\rangle \right|^2 \\ &\geq \left( \operatorname{Im}\langle\delta\hat{A}\delta\hat{B}\rangle \right)^2 = \frac{|\langle[\delta\hat{A}, \delta\hat{B}]\rangle|^2}{4} \end{aligned}$$



## Cauchy-Schwarz 不等式 (2)

- ▶ 式変形の最後で内積の**実部を無視**することで不等号を重ねている点が気にかかる。
- ▶  $\langle a|b\rangle = |\langle a|b\rangle|e^{i\phi}$  であるとする。

$$|b'\rangle = \delta\hat{B}'|\Psi\rangle, \quad \delta\hat{B}' = ie^{-i\phi}\delta\hat{B}$$

とおくと、 $\langle a|b'\rangle = i|\langle a|b\rangle|$  は純虚数となる。 $|\Psi\rangle$ ,  $\hat{A}$ ,  $\hat{B}'$  に対する Cauchy-Schwarz 不等式は

$$\langle\delta\hat{A}^2\rangle\langle\delta\hat{B}'^2\rangle \geq \frac{|\langle[\delta\hat{A}, \delta\hat{B}']\rangle|^2}{4}$$

$\delta\hat{B}'$  をすべて  $\delta\hat{B}$  に置き換えても式の形は変わらない。  
( $\delta\hat{B}'$  はエルミートではないが、正規ではある。)



# 測定モデル

- ▶ UR<sub>m</sub> (あるいは UR<sub>j</sub>) の導出には間接測定モデルが不可欠
  - 「誤差」, 「擾乱」の数学的定義
- ▶ 直接測定モデル
  - ▶ 射影仮説, ボルンの確率規則を対象系に直接適用
  - ▶ 測定精度, 測定の反作用 (擾乱) を定量的に扱えない
- ▶ 間接測定モデル
  - ▶ 第1段階: 対象系と測定装置 (プローブ) の (量子的) 相互作用
  - ▶ 第2段階: プローブに対して直接測定を実施



# 連続系の間接測定モデル

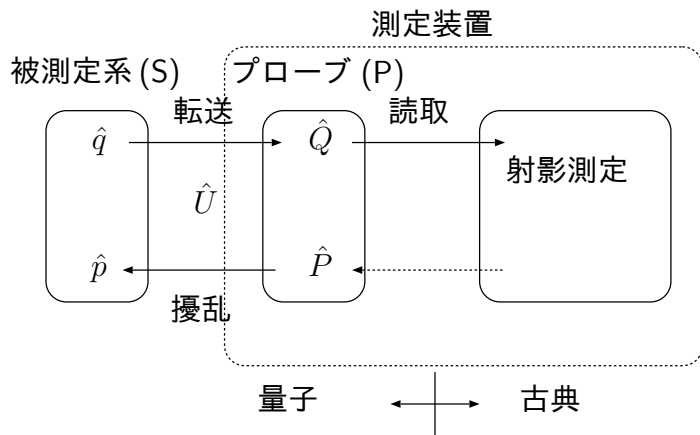
- ▶ 被測定系  $S : (\hat{q}, \hat{p})$  —  $\hat{q}$ : 被測定量,  $\hat{p}$ : 共役量
- ▶ プローブ系  $P : (\hat{Q}, \hat{P})$  —  $\hat{Q}$ : メータ量,  $\hat{P}$ : 共役量
- ▶ 正準交換関係  $[\hat{q}, \hat{p}] = [\hat{Q}, \hat{P}] = i\hbar\hat{1}$
- ▶ 初期状態  $|\Psi_{\text{tot}}\rangle = |\psi\rangle \otimes |\Psi\rangle$ ,  $|\psi\rangle \in \mathcal{H}_S$ ,  $|\Psi\rangle \in \mathcal{H}_P$
- ▶ 測定相互作用  $\hat{U}$  (ユニタリ)  
— 有限時間作用させ, 系  $S$ ,  $P$  間にエンタングルメント形成

$$|\Psi'_{\text{tot}}\rangle = \hat{U}|\Psi_{\text{tot}}\rangle$$

- ▶ 系  $P$  に対して  $\hat{Q}$  の射影測定を行い測定値を得る  
—  $\hat{q}$  の値を推定 (誤差を伴う)
- ▶ 系  $S$  の  $\hat{p}$  は、上記操作の影響 (擾乱) を受ける



# 間接測定の概要



# 理想測定

- ▶ 理想的な測定のための相互作用

$$\hat{Q}' := \hat{U}^\dagger \hat{Q} \hat{U} = \hat{Q} + \hat{q}, \quad \hat{p}' := \hat{U}^\dagger \hat{p} \hat{U} = \hat{p} - \hat{P}$$

—  $\hat{Q}'$ ,  $\hat{p}'$  は測定相互作用後の値 (ハイゼンベルク描像)

- ▶ 誤差演算子  $\hat{E}$ , 擾乱演算子  $\hat{D}$

$$\hat{E} := \hat{Q}' - \hat{q}, \quad \hat{D} := \hat{p}' - \hat{p}$$

— 理想測定の場合は  $\hat{E} = \hat{Q}$ ,  $\hat{D} = -\hat{P}$

- ▶ 誤差と擾乱の定義

$$\epsilon := \langle \hat{E}^2 \rangle^{1/2} = \langle \hat{Q}^2 \rangle^{1/2} \geq \sigma(\hat{Q})$$

$$\eta := \langle \hat{D}^2 \rangle^{1/2} = \langle \hat{P}^2 \rangle^{1/2} \geq \sigma(\hat{P})$$

- ▶ これより, 理想測定に対する URm が得られる

$$\epsilon \eta = \sigma(\hat{Q}) \sigma(\hat{P}) \geq \frac{\hbar}{2}$$



# Branciard 不等式

- ▶ 同時測定に関する誤差のトレードオフ関係 — Ozawa 不等式より厳しい限界

$$\tilde{\epsilon}_A^2 + \tilde{\epsilon}_B^2 + 2\sqrt{1 - \tilde{C}_{AB}^2} \tilde{\epsilon}_A \tilde{\epsilon}_B \geq \tilde{C}_{AB}^2 \quad (1)$$

ただし、

$$\tilde{\epsilon}_A := \frac{\epsilon_A}{\Delta A}, \quad \tilde{\epsilon}_B := \frac{\epsilon_B}{\Delta B}, \quad \tilde{C}_{AB} := \frac{C_{AB}}{\Delta A \Delta B} \quad (2)$$

C. Branciard: PNAS **110**, 6742 (2013).



# Branciard 不等式の導出

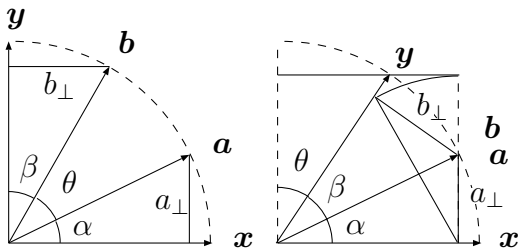
- ▶ 3 角関数に関する恒等式

$$\sin^2 \alpha + \sin^2 \beta + 2 \cos(\alpha + \beta) \sin \alpha \sin \beta = \sin^2(\alpha + \beta)$$

- ▶ 実ベクトル空間の単位ベクトル:  $\mathbf{a}, \mathbf{b}, \mathbf{x}, \mathbf{y}$

$$\mathbf{x} \cdot \mathbf{y} = 0, \quad \mathbf{a} \cdot \mathbf{b} = \cos \theta = \chi, \quad \chi_{\perp} = \sqrt{1 - \chi^2},$$

$$\mathbf{x} \cdot \mathbf{a} = \cos \alpha, \quad \mathbf{y} \cdot \mathbf{b} = \cos \beta, \quad a_{\perp} := \sin \alpha, \quad b_{\perp} := \sin \beta$$



- ▶ 4つのベクトルが同一平面にあれば、 $\alpha + \beta = \pi/2 - \theta$ :

$$a_{\perp}^2 + b_{\perp}^2 + 2\sqrt{1 - \chi^2} a_{\perp} b_{\perp} = \chi^2$$





## Branciard 不等式の導出 (2)

- ▶ 4つのベクトルが同じ平面内にあるとは限らない場合:  
 $\theta \geq \pi/2 - (\alpha + \beta)$ . 等式が不等式になる;

$$a_{\perp}^2 + b_{\perp}^2 + 2\sqrt{1 - \chi^2}a_{\perp}b_{\perp} \geq \chi^2$$

- ▶ 非正規直交ベクトル  $\mathbf{x}' = c_x \mathbf{x}$ ,  $\mathbf{y}' = c_y \mathbf{y}$   
 $\|\mathbf{x}' - \mathbf{a}\| \geq a_{\perp}$ ,  $\|\mathbf{y}' - \mathbf{b}\| \geq b_{\perp}$
- ▶ 根拠となる不等式

$$\|\mathbf{x}' - \mathbf{a}\|^2 + \|\mathbf{y}' - \mathbf{b}\|^2 + 2\sqrt{1 - \chi^2}\|\mathbf{x}' - \mathbf{a}\|\|\mathbf{y}' - \mathbf{b}\| \geq \chi^2$$



# ヒルベルト空間の実数化

- ▶ 正規直交基底  $\{|k\rangle\}_{k=1,2,\dots,N}$ ,  $\langle k'|k\rangle = \delta_{k'k}$  で ( $N$ -次元) 状態ベクトル  $|\psi\rangle$  を展開

$$|\psi\rangle = \sum_{k=1}^N \psi_k |k\rangle, \quad \psi_k = \psi'_k + i\psi''_k$$

$|\psi\rangle$  を ( $2N$ -次元) 実ベクトル  $\psi$  として表す

$$|\psi\rangle \overset{\circ}{=} \psi = \begin{bmatrix} \psi'_1 \\ \vdots \\ \psi'_N \\ \psi''_1 \\ \vdots \\ \psi''_N \end{bmatrix}$$



## ヒルベルト空間の実数化(2)

- ▶ 状態  $|x\rangle, |y\rangle$  に対して実ベクトルを  $|x\rangle \overset{\circ}{=} \mathbf{x}$ ,  $(-i)|y\rangle \overset{\circ}{=} \mathbf{y}$  と対応づける。

$$\|\mathbf{x}\|^2 = \sum_k (x_k'^2 + x_k''^2) = \langle x|x\rangle,$$

$$\|\mathbf{y}\|^2 = \sum_k (y_k''^2 + y_k'^2) = \langle y|y\rangle,$$

$$\mathbf{x} \cdot \mathbf{y} = \sum_k (x_k' y_k'' - x_k'' y_k') = \text{Im}\langle x|y\rangle$$

これによって、「実ベクトルの内積」が「複素ベクトルの内積の虚部」を与える。



# Branciard の不等式

- ▶ 状態 (系+プローブ)  $\Psi = |\psi\rangle \otimes |\xi\rangle$  を固定する。系の物理量  $\hat{A}, \hat{B}$  の期待値がゼロになるように原点をずらせる。
- ▶ 標準偏差

$$\Delta A := \sqrt{\langle \Psi | \hat{A}^2 | \Psi \rangle} = \sqrt{\langle \hat{A}^2 \rangle}, \quad \Delta B := \sqrt{\langle \hat{B}^2 \rangle},$$

- ▶ エルミート演算子  $\hat{A}, \hat{B}$  の交換子  $[\hat{A}, \hat{B}] = 2i\hat{C}$ .  $\hat{C}$  もエルミート.

$$C_{AB} := \langle \Psi | \hat{C} | \Psi \rangle = \frac{1}{2i} \langle \Psi | [\hat{A}, \hat{B}] | \Psi \rangle$$



## Branciard の不等式 (2)

- ▶ 全体系のエルミート演算子  $\hat{X}, \hat{Y}$  をそれぞれ、 $\hat{A}, \hat{B}$  を「近似」する物理量とする。これらは交換可能  $[\hat{X}, \hat{Y}] = 0$  で同時測定できる。
- ▶  $|\Psi\rangle$  に対する期待値はいずれもゼロとする。 $\langle \hat{X} \rangle = \langle \hat{Y} \rangle = 0$ .
- ▶ 4つのケット

$$\begin{aligned} |a\rangle &:= \frac{\hat{A}}{\Delta A} |\Psi\rangle, & |x\rangle &:= \frac{\hat{X}}{\Delta A} |\Psi\rangle, \\ |b\rangle &:= \frac{\hat{B}}{\Delta B} |\Psi\rangle, & |y\rangle &:= \frac{\hat{Y}}{\Delta B} |\Psi\rangle, \end{aligned}$$

に対して、

$$\begin{aligned} |a\rangle &\overset{\circ}{=} \mathbf{a}, & (-i)|b\rangle &\overset{\circ}{=} \mathbf{b} \\ |x\rangle &\overset{\circ}{=} \mathbf{x}, & (-i)|y\rangle &\overset{\circ}{=} \mathbf{y} \end{aligned}$$

のように実ベクトルを対応させる。



## Branciard の不等式 (3)

- ▶ これらの実ベクトルの長さ、内積は以下のとおり

$$\|\mathbf{a}\|^2 = \langle a|a \rangle = \frac{\langle \hat{A}^2 \rangle}{\Delta A^2} = 1,$$

$$\|\mathbf{b}\|^2 = \langle b|b \rangle = \frac{\langle \hat{B}^2 \rangle}{\Delta B^2} = 1,$$

$$\mathbf{a} \cdot \mathbf{b} = \text{Im} \langle a|b \rangle = \frac{1}{2i} \frac{\langle [\hat{A}, \hat{B}] \rangle}{\Delta A \Delta B} = \frac{C_{AB}}{\Delta A \Delta B}$$

$$\|\mathbf{x}\|^2 = \langle x|x \rangle = \frac{\langle \hat{X}^2 \rangle}{\Delta A^2},$$

$$\|\mathbf{y}\|^2 = \langle y|y \rangle = \frac{\langle \hat{Y}^2 \rangle}{\Delta B^2},$$

$$\mathbf{x} \cdot \mathbf{y} = 0$$

$$\|\mathbf{x} - \mathbf{a}\| = \langle \Psi | \frac{(\hat{X} - \hat{A})^2}{\Delta A^2} | \Psi \rangle =: \frac{\epsilon_A^2}{\Delta A^2},$$



# 一般的な測定相互作用

- ▶ 基底  $\{|q\rangle \otimes |Q\rangle\}$  —  $\hat{q}|q\rangle = q|q\rangle$ ,  $\hat{Q}|Q\rangle = Q|Q\rangle$
- ▶ 理想測定の場合 (シュレディンガー描像)

$$\hat{U} : |q\rangle|Q\rangle \rightarrow |q\rangle|Q + q\rangle$$

- ▶ プローブに忠実に情報  $q$  が移っている。  
被測定系は影響を受けていない。
- ▶ 一般化 (変数の線形的変換)  $a, b, c, d \in \mathbb{R}$

$$\hat{U} : |q\rangle|Q\rangle \rightarrow \sqrt{\Delta}|dq + cQ\rangle|aQ + bq\rangle, \quad \Delta = ad - bc > 0$$

—  $\sqrt{\Delta}$  はユニタリ性のため

- ▶ ハイゼンベルク描像では

$$\begin{bmatrix} \hat{Q}' \\ \hat{q}' \end{bmatrix} = \begin{bmatrix} a & b \\ c & d \end{bmatrix} \begin{bmatrix} \hat{Q} \\ \hat{q} \end{bmatrix} \quad \begin{bmatrix} \hat{p}' \\ \hat{P}' \end{bmatrix} = \frac{1}{\Delta} \begin{bmatrix} a & -b \\ -c & d \end{bmatrix} \begin{bmatrix} \hat{p} \\ \hat{P} \end{bmatrix}$$



# 一般相互作用の分類 (標準形)

- ▶ 一般測定 (ハイゼンベルク描像)

$$\hat{Q}' = a\hat{Q} + b\hat{q}, \quad \hat{p}' = a'\hat{p} - b'\hat{P}, \quad \text{where } a' = a/\Delta, b' = b/\Delta.$$

- ▶ 測定前後の系 S, P に対してそれぞれスケール変換を行うことで標準形に

$$(O) \quad \hat{Q}' = \hat{Q} + \hat{q}, \quad \hat{p}' = \hat{p} - \hat{P} \quad (ab \neq 0) \quad \text{理想測定}$$

$$(A) \quad \hat{Q}' = \hat{q}, \quad \hat{p}' = -\hat{P} \quad (a = 0, b \neq 0) \quad \text{スワップ}$$

$$(B) \quad \hat{Q}' = \hat{Q}, \quad \hat{p}' = \hat{p} \quad (b = 0, a \neq 0) \quad \text{無測定}$$

- ▶ 誤差と擾乱

$$(O) \quad \epsilon \geq \sigma(\hat{Q}), \quad \eta \geq \sigma(\hat{P}), \quad \epsilon\eta \geq \hbar/2$$

$$(A) \quad \epsilon = 0, \quad \eta \geq \left[ \sigma(\hat{P})^2 + \sigma(\hat{p})^2 \right]^{1/2} < \infty \quad \epsilon\eta = 0?$$

$$(B) \quad \eta = 0, \quad \epsilon \geq \left[ \sigma(\hat{Q})^2 + \sigma(\hat{q})^2 \right]^{1/2} < \infty \quad \epsilon\eta = 0?$$





▶ 相互作用前後の変数に関するスケール変換

$$\hat{Q} \rightarrow \Lambda \hat{Q}, \hat{P} \rightarrow \Lambda^{-1} \hat{P},$$

$$\hat{q} \rightarrow \lambda \hat{q}, \hat{p} \rightarrow \lambda^{-1} \hat{p},$$

$$\hat{q}' \rightarrow \mu \hat{q}', \hat{p}' \rightarrow \mu^{-1} \hat{p}'$$

▶ 測定のパラメータの変換

$$\begin{bmatrix} a & b \\ c & d \end{bmatrix} \rightarrow \begin{bmatrix} \Lambda a & \lambda b \\ \mu \Lambda c & \mu \lambda d \end{bmatrix}$$

$$\Delta \rightarrow \Lambda \lambda \mu \Delta$$

▶ 場合分け

(O)  $\Lambda = 1/a, \lambda = 1/b, \mu = ab/\Delta (ab \neq 0)$

(A)  $\Lambda = -1/c, \lambda = 1/b, \mu = 1 (a = 0, b \neq 0)$

(B)  $\Lambda = 1/a, \lambda = 1/d, \mu = 1 (a \neq 0, b = 0)$



# 小澤不等式

- ▶ タイプ (A), (B) ではハイゼンベルクの不等式 (HUR) が破れているように見える
- ▶ この問題を解決するために、新しい不等式 (OUR) が提案されている

$$\epsilon\eta + \epsilon\sigma(\hat{p}) + \sigma(\hat{q})\eta \geq \hbar/2$$

— M. Ozawa: Phys. Lett. A **318**, 21 (2003)

- ▶ タイプ (A), (B) でも破綻しない

$$(A) \quad \epsilon = 0 \quad \rightarrow \quad \sigma(\hat{q})\eta \geq \hbar/2$$

$$(B) \quad \eta = 0 \quad \rightarrow \quad \epsilon\sigma(\hat{p}) \geq \hbar/2$$



# 小澤不等式の証明

- ▶ 測定相互作用後の交換関係

$$[\hat{Q}', \hat{p}'] = [a\hat{Q} + b\hat{q}, a'\hat{p} - b'\hat{P}] = i\hbar(-ab' + ba') = 0$$
$$\text{i.e. } 0 = [\hat{q} + \hat{E}, \hat{p} + \hat{D}] = i\hbar + [\hat{q}, \hat{D}] + [\hat{E}, \hat{p}] + [\hat{E}, \hat{D}]$$

- ▶ 両辺の期待値, 三角(四角?) 不等式を用いて

$$\langle [\hat{E}, \hat{D}] \rangle + \langle [\hat{q}, \hat{D}] \rangle + \langle [\hat{E}, \hat{p}] \rangle = -i\hbar$$
$$|\langle [\hat{E}, \hat{D}] \rangle| + |\langle [\hat{q}, \hat{D}] \rangle| + |\langle [\hat{E}, \hat{p}] \rangle| \geq \hbar$$

- ▶  $\forall \hat{A}, \hat{B} : \sigma(\hat{A})\sigma(\hat{B}) \geq (1/2)|\langle [\hat{A}, \hat{B}] \rangle|$  を用いて,

$$\sigma(\hat{E})\sigma(\hat{D}) + \sigma(\hat{q})\sigma(\hat{D}) + \sigma(\hat{E})\sigma(\hat{p}) \geq \hbar/2$$

すなわち,  $\epsilon\eta + \sigma(\hat{q})\eta + \epsilon\sigma(\hat{p}) \geq \hbar/2$



# 比較

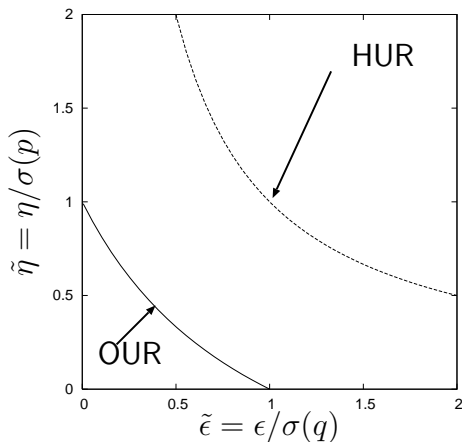
- ▶ 規格化変数  $\tilde{\epsilon} = \epsilon/\sigma(\hat{q})$ ,  $\tilde{\eta} = \eta/\sigma(\hat{p})$

$$\tilde{\epsilon}\tilde{\eta} \geq 1$$

HUR

$$\tilde{\epsilon}\tilde{\eta} + \tilde{\epsilon} + \tilde{\eta} \geq 1$$

OUR



# 一般測定における不確定関係

- ▶ 一般測定  $\hat{Q}' = a\hat{Q} + b\hat{q}$ ,  $\hat{p}' = a'\hat{p} - b'\hat{P}$
- ▶ 誤差, 擾乱演算子

$$\hat{E} = a\hat{Q} + (b-1)\hat{q}, \quad \hat{D} = (a'-1)\hat{p} - b'\hat{P}$$

- ▶ 誤差, 擾乱

$$\epsilon^2 = \langle \hat{E}^2 \rangle = a^2\sigma^2(\hat{Q}) + (b-1)^2\sigma^2(\hat{q})$$

$$\eta^2 = \langle \hat{D}^2 \rangle = (a'-1)^2\sigma^2(\hat{p}) + b'^2\sigma^2(\hat{P})$$

- ▶ 初期状態のバラツキ比:  $w = \frac{\sigma(\hat{Q})}{\sigma(\hat{q})} = \frac{\sigma(\hat{p})}{\sigma(\hat{P})}$

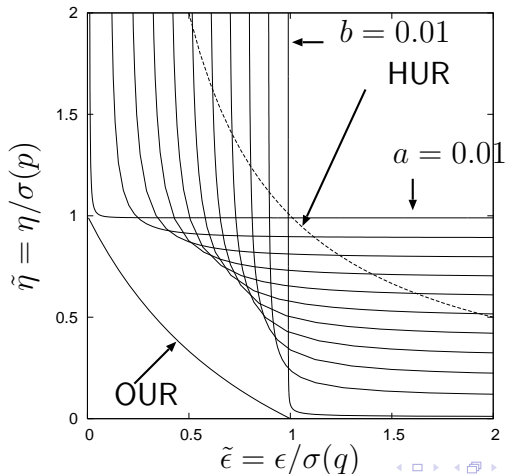
$$\tilde{\epsilon}^2(w) = a^2w^2 + (b-1)^2, \quad \tilde{\eta}^2(w) = (a'-1)^2 + b'^2w^{-2}$$

- ▶ トラジェクトリ  $\{(\tilde{\epsilon}(w), \tilde{\eta}(w)) \mid 0 \leq w \leq \infty\}$



# トラジェクトリ $a + b = 1, \Delta = 1$

- ▶ OUR は一般の測定で破られることはない
- ▶ 理想測定 (O) ( $a' = b = 1$ ) の場合以外は,  $w$  を調整すれば, HUR は必ず破れる.
- ▶ しかし,  $w$  にかかわらず, HUR を破ることはできない.



# 誤差と擾乱の再定義

- ▶ 一般測定 :  $\hat{Q}' = a\hat{Q} + b\hat{q}$ ,  $\hat{p}' = a'\hat{p} - b'\hat{P}$
- ▶ 利得を考慮した (入力換算) 誤差  $\hat{E}_*$  と擾乱  $\hat{D}_*$  演算子

$$\hat{Q}' = b(\hat{q} + \hat{E}_*), \quad \hat{p}' = a'(\hat{p} + \hat{D}_*)$$

- ▶ 代入すると,

$$\hat{E}_* := \frac{1}{b}\hat{Q}' - \hat{q} = \frac{a}{b}\hat{Q}, \quad \hat{D}_* := \frac{1}{a'}\hat{p}' - \hat{p} = -\frac{b}{a}\hat{P}$$

- ▶ 新しい誤差と擾乱

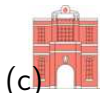
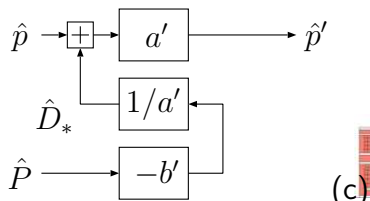
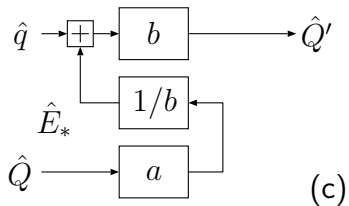
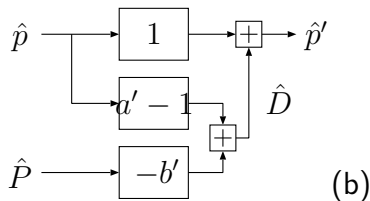
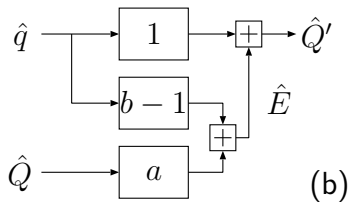
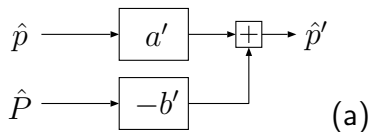
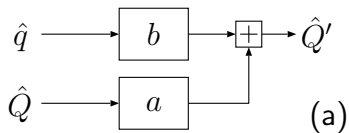
$$\epsilon_*^2 = \langle \hat{E}_*^2 \rangle = \left(\frac{a}{b}\right)^2 \sigma^2(\hat{Q}), \quad \eta_*^2 = \langle \hat{D}_*^2 \rangle = \left(\frac{b}{a}\right)^2 \sigma^2(\hat{P})$$

- ▶ ハイゼンベルクの不等式を満たす

$$\epsilon_* \eta_* = \sigma(\hat{Q})\sigma(\hat{P}) \geq \frac{\hbar}{2}$$



# 誤差と擾乱の再定義 — ダイアグラム





# 極限としてのタイプ (A), (B)

- ▶ タイプ (A):  $a \rightarrow 0, b = 1$

$$\text{(New)} \quad \epsilon_* \rightarrow 0, \quad \eta_* \rightarrow \infty$$

$$\text{(Old)} \quad \epsilon = 0, \quad \eta = (\text{有限})$$

- ▶ タイプ (B):  $a' = 1, b' \rightarrow 0$

$$\text{(New)} \quad \eta_* \rightarrow 0, \quad \epsilon_* \rightarrow \infty$$

$$\text{(Old)} \quad \eta = 0, \quad \epsilon = (\text{有限})$$

- ▶ タイプ (A) はスワップなので、誤差は 0. 擾乱は？
- ▶ タイプ (B) は無測定なので、擾乱は 0. 誤差は？



# 無限大の擾乱, 無限大の誤差

## 対立点

- ▶ タイプ (A)  $\hat{p}' = -\hat{P}$  : スワップ
  - ▶ (New) プローブの運動量に置き換わっているなので, 擾乱は無限大
  - ▶ (Old) バラツキは有限なので, 擾乱は有限
- ▶ タイプ (B)  $\hat{q}' = \hat{Q}$  : 無測定
  - ▶ (New) 被測定量の情報が含まれないので, 誤差は無限大
  - ▶ (Old) バラツキは有限なので, 誤差は有限

シュレディンガー描像を用いて, 測定の相互作用による波動関数の変化を追跡すれば, (New) の方が合理的であることが分かる.



# 波動関数による解析

- ▶ 誤差, 擾乱演算子 (ハイゼンベルク描像) による解析
  - ▶ 簡潔だが, 形式的すぎる
  - ▶ 異なる時刻の演算子の組み合わせ:  $f(\hat{A}(t), \hat{B}(t'))$
  - ▶ 実験との対応のためには, 波動関数 (シュレディンガー描像) が望ましい
- ▶ 初期状態  $|\Psi_{\text{tot}}\rangle = |\psi\rangle \otimes |\Psi\rangle = |\psi\rangle|\Psi\rangle$
- ▶ (初期) 分布関数

$$\begin{aligned}f(q) &:= |\langle q|\psi\rangle|^2 = |\psi(q)|^2, \\F(Q) &:= |\langle Q|\Psi\rangle|^2 = |\Psi(Q)|^2, \\g(p) &:= |\langle p|\psi\rangle|^2 = |\phi(p)|^2, \\G(-P) &:= |\langle P|\Psi\rangle|^2 = |\Phi(P)|^2\end{aligned}$$

- ▶ 誤差, 擾乱をこれらの分布関数の変化として捉える.



## 波動関数による解析 (2)

- ▶ 相互作用後の状態

$$|\Psi'_{\text{tot}}\rangle = \hat{U}[|\psi\rangle \otimes |\Psi\rangle]$$

- ▶ 相互作用後の分布関数 (理想測定)

$$\begin{aligned} F'(Q) &= \int_{-\infty}^{\infty} |\langle q|\langle Q|\Psi'_{\text{tot}}\rangle|^2 dq = \int_{-\infty}^{\infty} |\psi(q)\Psi(Q-q)|^2 dq \\ &= \int_{-\infty}^{\infty} f(q)F(Q-q) dq = (f * F)(Q) \\ g'(p) &= \int_{-\infty}^{\infty} g(p+P)G(-P) dP = (g * G)(p) \end{aligned}$$

- ▶ 畳込み積分

$$(f * g)(x) = \int_{-\infty}^{\infty} f(y)g(x-y) dy$$



# 波動関数による解析 (3)

- ▶ 畳込積と分布の幅:  $\sigma^2(f * g) = \sigma^2(f) + \sigma^2(g)$ .
- ▶ 分布の変化

$$\sigma^2(F') = \sigma^2(f) + \sigma^2(F), \quad \sigma^2(g') = \sigma^2(g) + \sigma^2(G)$$

- ▶ 不確定積

$$\begin{aligned} \epsilon^2 \eta^2 &= [\sigma^2(F') - \sigma^2(f)] [\sigma^2(g') - \sigma^2(g)] = \sigma^2(F) \sigma^2(G) \\ &\geq \frac{\hbar^2}{4} \end{aligned}$$



## 波動関数による解析 (4)

- ▶ 相互作用後の分布関数 (一般測定,  $\hat{U}(a, b, c, d)$ )

$$\begin{aligned}F'(Q) &= \frac{1}{\Delta} \int_{-\infty}^{\infty} f(-c'Q + a'q)F(d'Q - b'q)dq \\ &= (f_{1/b'} * F_{1/a'})_{1/\Delta}(Q)\end{aligned}$$

$$\begin{aligned}g'(p) &= \Delta \cdot \int_{-\infty}^{\infty} g(dp + bP)G(-cp - aP)dP \\ &= (g_{1/a} * G_{1/b})_{\Delta}(p)\end{aligned}$$

- ▶ スケールされた関数  $f_k(x) := kf(kx)$  ( $k > 0$ ).

$$\int_{-\infty}^{\infty} f_k(x)dx = \int_{-\infty}^{\infty} f(x)dx, \quad \sigma(f_k) = \frac{1}{k}\sigma(f)$$

- ▶ タイプ (A), (B) の場合は畳込の形にならない。  
(極限  $a, b \rightarrow 0$  として考える)



# 波動関数による解析 (5)

- ▶ 分布の変化

$$\sigma^2(F') = b^2 \left( \sigma^2(f) + \frac{a^2}{b^2} \sigma^2(F) \right),$$
$$\sigma^2(g') = a'^2 \left( \sigma^2(g) + \frac{b^2}{a'^2} \sigma^2(G) \right)$$

- ▶ 誤差と擾乱

$$\epsilon_*^2 = \left( \frac{a}{b} \right)^2 \sigma^2(F), \quad \eta_*^2 = \left( \frac{b}{a} \right)^2 \sigma^2(G),$$

- ▶ 不確定積

$$\epsilon_*^2 \eta_*^2 = \sigma^2(F) \sigma^2(G) \geq \frac{\hbar^2}{4}$$



# 無限小の誤差, 無限大の擾乱スワップ ( $a \rightarrow 0, b = 1$ )

- ▶ 任意の面積 1 の関数  $f(x)$  に対して

$$f_{1/a}(x) = \frac{1}{a} f\left(\frac{x}{a}\right) \rightarrow \delta(x), \quad (a \rightarrow 0)$$

— 関数列の極限としてのデルタ関数

- ▶  $F(Q)$  がデルタ関数化  $\rightarrow$  誤差なしに

$$\begin{aligned} F'(Q) &= (f_{\Delta} * F_{\Delta/a})_{1/\Delta}(Q) = (f * F_{1/a})(Q) \\ &\rightarrow (f * \delta)(Q) = f(Q) \quad (a \rightarrow 0) \end{aligned}$$

- ▶  $g(p)$  がデルタ関数化  $\rightarrow$  擾乱が相対的に無限大に

$$\begin{aligned} g'(p) &= (g_{1/a} * G)_{\Delta}(p) \\ &\rightarrow (\delta * G)_{\Delta}(p) = G_{\Delta}(p) \quad (a \rightarrow 0) \end{aligned}$$

- ▶ もうひとつの解釈

$G(P)$  が幅無限大の関数に  $\rightarrow$  擾乱が無限大に

$$g'(p) = (g * G_a)_{1/a'}(p) \rightarrow G_{\Delta}(p) \quad (a \rightarrow 0)$$





# 結論

- ▶ 測定の不確定性の議論には間接測定モデルが有効
- ▶ 一般化測定については, 誤差演算子, 擾乱演算子を定義しなおすことが必要
  - ハイゼンベルクの不等式 (URm) は破れていない
  - 小澤不等式に有用性を見出すことはむずかしい
- ▶ 分布関数を用いた解析により,

{ 無限大, 無限小 } の { 誤差, 擾乱 }

の意味が明確になる. ハイゼンベルク 描像では見づらい.

- ▶ 残された問題
  - ▶ より一般的な相互作用への拡張
    - 非線形関係あるいは最小限の条件
  - ▶ 離散的測定モデルへの拡張

